

電力中央研究所 正会員 金 津 男
 電力中央研究所 正会員 青 柳 征夫
 防衛大学校 正会員 佐 藤 良一

1 まえがき

本報告は、常温および一樣低温下において曲げを受ける鉄筋コンクリート部材（以下FRC部材）のひびわれ発
 生から鉄筋の降伏までの変形性状とともにひびわれ性状も系統的に解析する方法について検討を加えたもので、
 既に報告している圧縮部コンクリートの非線形性、軸圧縮力、付着すべり曲線の非線形性および付着破壊を考
 慮できる解析法¹⁾をさらに改良し、引張部コンクリートの非線形性および一樣低温下において先ずる鉄筋とコンクリ
 ートの線膨張係数差に起因するアレストレス効果を考慮できるようにしたものである。本解析法によるアレスト
 レス効果の考え方は、アレストレスコンクリート部材の変形解析へも適用が可能なものである。

2 基本仮定

i) 圧縮、引張両域のコンクリートの応力-ひずみ曲線は放物線とする。 ii) 圧縮部コンクリート、中立軸
 近傍引張部コンクリートおよび鉄筋はひずみ分布に関して平面保持が成立する。 iii) 中立軸近傍引張部コンク
 リートの高さは任意断面で等しく、ひびわれ断面における値と同じとする。 iv) ひびわれ断面における引張部
 コンクリートの最大ひずみは荷重レベルに拘らず一定とする。 v) 任意断面における引張部コンクリートひず
 みは中立軸からの距離に比例する。 vi) ひびわれはひびわれ向中央断面に対して対称であり、解析対象領域で
 等間隔に生ずる。 vii) ひびわれは引張線ひずみがコンクリートの引張終局ひずみに達した時発生する。 viii)
 付着応力-相対すべり曲線は六車、森田²⁾提案式に従う。

3 アレストレス効果

本解析で扱うアレストレス効果は、鉄筋とコンクリートが完全に一体となっている領域を対象としている。軸
 圧縮力が存在するRC部材のアレストレス効果について説明する。図1は一樣低温状態におかれたRC部材の
 全ひずみ分布とコンクリートの応力に関するひずみ分布を示している。この状態における上縁コンクリートお
 よび鉄筋応力に関するひずみは次式で与えられる。

上縁コンクリート: $E\epsilon_{prc} + E_c - E_{c\Delta T} = E_c - E_{c\Delta T}$ (1) 鉄筋: $E\epsilon_{prs} + E_s - E_{s\Delta T} = E_s - E_{s\Delta T}$ (2)

ここで $E\epsilon_{prc}, E\epsilon_{prs}$: 軸圧縮力によるコンクリートと鉄筋のひずみ E_c, E_s : 軸圧縮力導入後から最終状態まで
 に変化したコンクリートと鉄筋のひずみ E_c, E_s : 軸圧縮力導入前から最終状態までに変化したコンクリートと鉄筋
 のひずみ $E_{c\Delta T}, E_{s\Delta T}$: コンクリートと鉄筋の自由収縮ひずみ

図1の座標に従えば、断面の任意高さのコンクリートの応力に関するひずみおよび圧縮応力は次式で与えられる。

$E\epsilon(z) = (E_c - E_{c\Delta T}) \cdot z/y$ (3) $\xi = (E_c - E_{c\Delta T}) / E_{cu}$
 $\sigma_c(z) = \sigma_{cu} \xi \cdot z/y \cdot (2 - \xi \cdot z/y)$ (4) $\alpha(\xi) = \sigma_{cu} \{1 - (1 - \xi/E_{cu})^2\}$

σ_{cu}, E_{cu} : コンクリートの圧縮強度と終局圧縮ひずみ
 式(3)(4)より圧縮合力Cは $C = b \int_y^{y+h} \sigma_c(z) dz - A_s \sigma_c(y+d)$ (5)

鉄筋の引張力Tは $T = A_s E_s (E_s - E_{s\Delta T})$ (6)

鉄筋まわりのコンクリートのモーメント M_c と軸力によるモーメント M_p は
 $M_c = b \int_y^{y+h} \sigma_c(z)(d+y-z) dz$ (7) $M_p = P \cdot e'$ (8) e' : 偏心距離

断面の軸方向力と鉄筋まわりのモーメントに関するつり合い条件より、

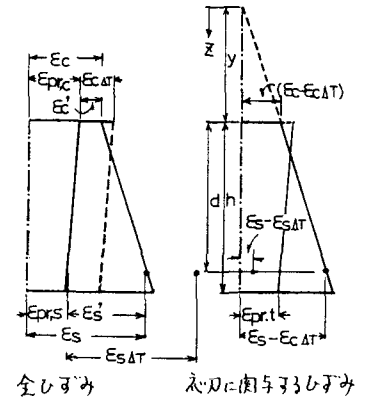


図1 一樣低温下におけるひずみ分布

$P = C + T$ (9) $P \cdot e' = Mc$ (10)

平面保持の仮定より $(E_s - E_{c\Delta T}) / (y+d) = (E_c - E_{c\Delta T}) / y$ (11)

式(11)を用い(9)(10)を連立させて解けば y と c が得らる。これにより RC 部材の上下縁に導入されるアレストレス量は次式で与えらる。

上縁: $\sigma_c(y)_p = \sigma_{cu}(2 - \xi) - \sigma_{prc}$ (12)

下縁: $\sigma_c(y+h)_p = \sigma_{cu} \xi \{2 - \xi(y+h)/y\} (y+h)/y - \sigma_{prt}$ (13)

4 基礎方程式の定式化

図3はある断面とこの断面から微小距離 dx 離れた断面およびひびわれ断面における応力に肉するひずみ分布を示したものである。中立軸から z の距離 z 位置での応力に肉するひずみと応力は次のように与えらる。

圧縮部コンクリート:

$E_c(z) = -(E_s - E_{c\Delta T})z / (d-y)$ (14) $\sigma_c(z) = \sigma_{cu} \{1 - (1 - E_c(z)/E_{cu})^2\}$ (15)

中立軸近傍引張部コンクリート:

$E_t(z) = (E_s - E_{c\Delta T})z / (d-y)$ (16) $\sigma_t(z) = \sigma_{tu} \{1 - (1 - E_t(z)/E_{tu})^2\}$ (17)

引張部コンクリート:

$E_c(z) = (E_t - E_{c\Delta T})z / (d-y)$ (18) $\sigma_t(z) = \sigma_{tu} \{1 - (1 - E_t(z)/E_{tu})^2\}$ (19)

軸方向力と鉄筋すわり Q のつり合い条件式に式(15)(17)(19)を代入して E_s, E_t について整理すれば。

$F_1(y)E_s^2 + F_2(y)E_s + Q_1(y)E_t^2 + Q_2(y)E_t + F_3(y) = 0$ (20) $F_4(y)E_s^2 + F_5(y)E_s + P_1(y)E_t^2 + P_2(y)E_t + F_6(y) = 0$ (21)

式(20)(21)より y が与えらる場合は E_s, E_t を解くことができる。また、両式は任意断面において成立するので、微小距離 dx に対する増分形 dE_s, dE_t, dy で表示すれば

$\alpha_1(y, E_s) dE_s + \alpha_2(y, E_s, E_t) dy + \alpha_3(y, E_t) dE_t = 0$ (22) $\beta_1(y, E_s) dE_s + \beta_2(y, E_s, E_t) dy + \beta_3(y, E_t) dE_t = 0$ (23)

E_s, E_t は y が与えらる場合は解けるので、結局 $\alpha_2, \beta_2, \beta_3$ はすべて y の関数と考えることができる。両式 dE で除いて $dE_s/dx, dE_t/dx, dy/dx$ について整理すれば次の関数式が得らる。

$\frac{dE_s}{dx} = Q(y) \frac{dy}{dx}$ (24)

$\frac{dE_t}{dx} = G(y) \frac{dE_s}{dx}$ (25)

$Q(y) = \frac{\alpha_2(y)\beta_3(y) - \alpha_3(y)\beta_2(y)}{\alpha_1(y)\beta_3(y) - \alpha_3(y)\beta_1(y)}$ (26)

$G(y) = \frac{\alpha_2(y)\beta_1(y) - \alpha_1(y)\beta_2(y)}{\alpha_3(y)\beta_2(y) - \alpha_2(y)\beta_3(y)}$ (27)

微小距離 dx における相対すわり (δx) の増分および鉄筋とコンクリートの付着応力 (τ_x) と鉄筋ひずみとの関係は、

$\frac{\delta x}{dx} = E_s - E_t$ (28)

$\frac{dE_s}{dx} = \frac{U_s}{A_s E_s} \cdot \tau_x$ (29)

U_s : 鉄筋1周長

式(28) \times で微分して式(25)(29)を代入し、付着応力-相対すわり関係に式(29)を代入し、相対すわりに肉する次の支配微分方程式が得らる。

$\frac{d^2 S_x}{dx^2} = K_m \{1 - G(y)\} \frac{\ln \{ \frac{(e-1)S_x + 1}{(e-1)S_x + 1} \}}{\{ \frac{(e-1)S_x + 1}{(e-1)S_x + 1} \}}$ (30)

$K_m = \frac{U_s}{A_s E_s} \cdot \frac{\tau_{max}}{\delta_{max}}$ (31)

$S_x = \frac{\delta x}{\delta_{max}}$ (32)

式(30)には $G(y)$ が含まれるため y が決定されないと解くことができない。式(24)より E_s と y の関係は次式で与えらる。

$\{E_s\}_x = \{E_s\}_{x=0} + \int_{y_{x=0}}^{y_x} Q(y) dy$ (33)

$x=0$: 付着応力が作用する位置

y, E_s が決定されると式(20)(21)より E_t が決定され、相対すわりの変化率は y の関数と考える。式(28)の条件のもとに式(30)を解くことができる。

5 実験結果との比較

式(30)は Runge-Kutta 法を用い境界条件に付着破壊の有無、完全定着領域の有無を考慮して解くことができる。図2,4はひびわれ本解析法によるひびわれ発生荷重および剛性残存率、計算結果を実験結果と比較したものである。線形弾性係数を考慮した本解析結果は実験値と非常によく評価されており、本解析法の妥当性が検証されたものと考えらる。

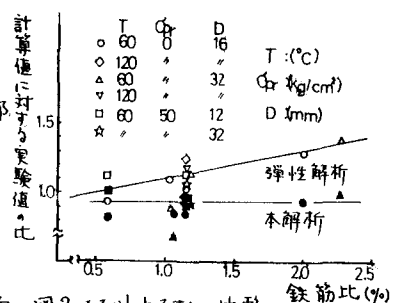


図2 鉄筋率と剛性残存率の関係 (RC部材のひびわれ) 1967年論文集

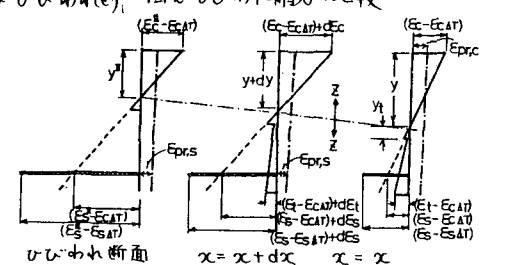


図3 任意断面における応力に肉するひずみ分布